

AKADEMIA GÓRNICZO-HUTNICZA IM. STANISŁAWA STASZICA W KRAKOWIE WYDZIAŁ ELEKTROTECHNIKI, AUTOMATYKI, INFORMATYKI I INŻYNIERII BIOMEDYCZNEJ

KATEDRA AUTOMATYKI I INŻYNIERII BIOMEDYCZNEJ

Praca dyplomowa magisterska

Dwuczęściowa aplikacja sterowania czasooptymalnego w systemie zbiorników

A two-part application of time-optimal control in a system of tanks

Autor: Łukasz Dudek

Kierunek studiów: Automatyka i Robotyka Opiekun pracy: dr hab. inż. Adam Piłat Uprzedzony o odpowiedzialności karnej na podstawie art. 115 ust. 1 i 2 ustawy z dnia 4 lutego 1994 r. o prawie autorskim i prawach pokrewnych (t.j. Dz.U. z 2006 r. Nr 90, poz. 631 z późn. zm.): "Kto przywłaszcza sobie autorstwo albo wprowadza w błąd co do autorstwa całości lub części cudzego utworu albo artystycznego wykonania, podlega grzywnie, karze ograniczenia wolności albo pozbawienia wolności do lat 3. Tej samej karze podlega, kto rozpowszechnia bez podania nazwiska lub pseudonimu twórcy cudzy utwór w wersji oryginalnej albo w postaci opracowania, artystycznego wykonania albo publicznie zniekształca taki utwór, artystyczne wykonanie, fonogram, wideogram lub nadanie.", a także uprzedzony o odpowiedzialności dyscyplinarnej na podstawie art. 211 ust. 1 ustawy z dnia 27 lipca 2005 r. Prawo o szkolnictwie wyższym (t.j. Dz. U. z 2012 r. poz. 572, z późn. zm.): "Za naruszenie przepisów obowiązujących w uczelni oraz za czyny uchybiające godności studenta student ponosi odpowiedzialność dyscyplinarną przed komisją dyscyplinarną albo przed sądem koleżeńskim samorządu studenckiego, zwanym dalej «sądem koleżeńskim».", oświadczam, że niniejszą pracę dyplomową wykonałem(-am) osobiście i samodzielnie i że nie korzystałem(-am) ze źródeł innych niż wymienione w pracy.



Spis treści

W	stęp			7
1.	Mat	ematyc	zny opis zagadnienia	9
	1.1.	Wpro	wadzenie z zakresu dynamiki płynów	9
		1.1.1.	Równanie Bernoulliego i prawo Torricellego	9
		1.1.2.	Rodzaje przepływów	11
	1.2.	Mode	l matematyczny zestawu zbiorników	12
	1.3.	Regul	acja czasooptymalna	13
		1.3.1.	Ogólna definicja zagadnienia	13
		1.3.2.	Nieliniowość układu a sterowanie czasooptymalne	15
		1.3.3.	Wyznaczanie sterowania czasooptymalnego	16
		1.3.4.	Numeryczne metody wyznaczania sterowania czasooptymalnego	17
	1.4.	Regul	acja liniowo - kwadratowa	17
		1.4.1.	Ogólna definicja zagadnienia	17
		1.4.2.	Linearyzacja modelu	17
		1.4.3.	Wyznaczanie regulatora liniowo - kwadratowego	17
		1.4.4.	Dobór wag w zagadnieniu liniowo - kwadratowym	17
2.	Arch	nitektur	a zaproponowanego rozwiązania	19
	2.1.	2.1. Podział zadań między elementami oprogramowania		19
	2.2.	Część	obliczeniowa ("wyższego poziomu")	19
		2.2.1.	Wybór pakietu do optymalizacji dynamicznej	19
		2.2.2.	Opis pakietu Modelica	19
		2.2.3.	Opis systemu Tango Controls	19
		2.2.4.	Architektura klasy urządzeń systemu Tango	19
		2.2.5.	Środowisko testowe części obliczeniowej	19
	2.3.	Część	realizująca sterowanie ("niższego poziomu")	19
		2.3.1.	Pakiet Simulink jako narzędzie realizujące sterowanie	19
		2.3.2.	Komunikacja z urządzeniem wykonawczym i czujnikami	19

6 SPIS TREŚCI

	2.4.	Komu	nikacja między elementami oprogramowania	19
3.	Bada	ania syr	nulacyjne	21
	3.1.	Optyn	nalizacja przy użyciu pakietu JModelica.org	21
		3.1.1.	Inicjalizacja optymalizacji dynamicznej	21
		3.1.2.	Dokładność wyznaczania rozwiązania	21
	3.2.	Symu	lacja i weryfikacja	21
		3.2.1.	Przy użyciu pakietu JModelica.org	21
		3.2.2.	Przy użyciu oprogramowania MATLAB/Simulink	21
4.	Bada	ania eks	sperymentalne	23
	4.1.	Porów	vnanie wyników eksperymentalnych z symulacyjnymi	23
		4.1.1.	Ocena jakości rozwiązania	23
	4.2.	Badan	nie wpływu zakłóceń na sterowanie	23
		4.2.1.	Wpływ czasu dyskretyzacji	23
		4.2.2.	Wpływ zakłóceń w ruchu sieciowym	23
	4.3.	Możli	we kierunki dalszego rozwiązania zaproponowanego rozwiązania	23
Za	kończ	zenie		25
Lis	st of F	igures.		26

Wstęp

Wstęp!

8 SPIS TREŚCI

1. Matematyczny opis zagadnienia

Rozważany układ składa się z trzech zbiorników połączonych szeregowo, czy też kaskadowo. W związku z tym płyn, którym jest napełniony pierwszy zbiornik - woda - przepływa przez otwór o zadanym oporze wypływu do drugiego zbiornika. Stamtąd znowu wypływa do przez otwór o zadanym oporze do trzeciego zbiornika, skąd przez kolejny taki otwór wypływa do zewnętrznego naczynia. Stamtąd woda jest pompowana z powrotem do pierwszego zbiornika. Całość układu jest przedstawiona schematycznie na rys. 1.1.

1.1. Wprowadzenie z zakresu dynamiki płynów

W niniejszym podrozdziałe zostaną przypomniane podstawowe prawa fizyki związane z przepływem cieczy oraz jego związkiem z jej poziomem w zbiorniku.

1.1.1. Równanie Bernoulliego i prawo Torricellego

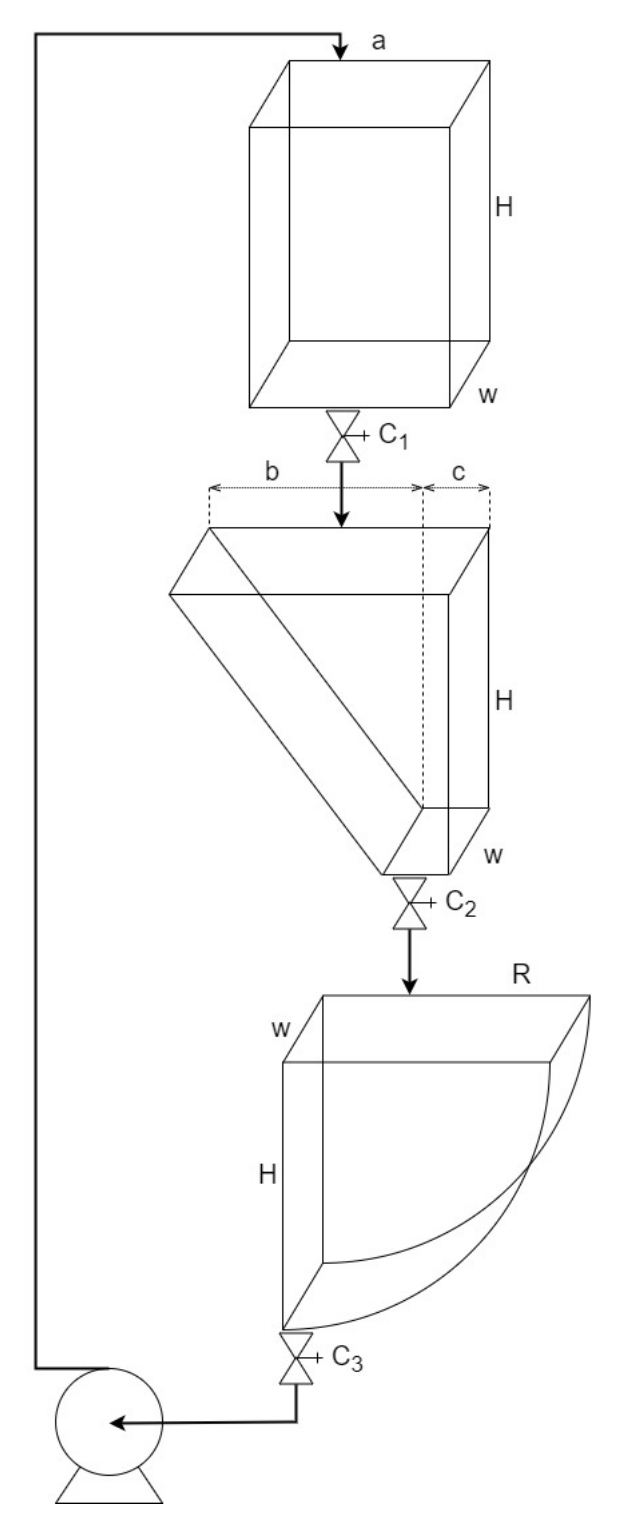
Równanie Bernoulliego jest jednym z podstawowych praw termodynamiki płynów idealnych. Mówi ono, że wzrost prędkości przepływu cieczy musi wiązać się ze spadkiem ciśnienia lub energii potencjalnej. Ma kilka postaci; najpopularniejszą jest tzw. szczególne równanie Bernoulliego, które wiąże energię mechaniczną płynu z jego prędkością w danym miejscu, wysokością w układzie odniesienia służącym do wyznaczania energii potencjalnej, ciśnieniem i gęstością. W takiej formie można je stosować tylko do cieczy nieściśliwych i nielepkich, jednocześnie zakładając stacjonarność i bezwirowość przepływu.

Ta szczególna postać równania Bernoulliego jest przedstawiona jako równanie 1.1.

$$e_m = \frac{v^2}{2} + gh + \frac{p}{\rho} = const \tag{1.1}$$

Oznaczenia:

- $-e_m$ energia jednostki masy cieczy,
- v prędkość cieczy w danym miejscu,
- -g przyspieszenie grawitacyjne,
- h wysokość w układzie odniesienia, w którym jest wyznaczana energia potencjalna,



Rys. 1.1. Układ zbiorników z zaznaczonymi wymiarami

- -p ciśnienie cieczy w danym miejscu,
- $-\rho$ gęstość cieczy.

Z równania Bernoulliego można wyprowadzić bezpośrednią zależność między prędkością cieczy a jej poziomem w zbiorniku. Jest ona znana pod nazwą prawa Torricellego i przedstawiona jako równanie 1.2 (przyjęto oznaczenia takie jak w przypadku równania 1.1).

$$v = \sqrt{2gh} \tag{1.2}$$

Można owo prawo zapisać w bardziej ogólnej formie słownej: prędkość wypływu cieczy jest proporcjonalna do pierwiastka kwadratowego z poziomu cieczy w zbiorniku. Takie jego sformułowanie będzie istotne przy wyznaczaniu modelu matematycznego rozważanego układu.

Na podstawie prawa Torricellego można wyznaczyć czas potrzebny na zmianę wysokości słupa cieczy w zamkniętym pojemniku. Niech:

- h będzie ową wysokością,
- x -
- -v prędkością wypływu, $v=\sqrt{2gh}=\frac{\partial x}{\partial t},$
- A polem przekroju poprzecznego zbiornika.

$$\frac{\partial x}{\partial t} = v = \sqrt{2gh}
A\partial h = \partial x
\frac{\partial h}{\partial t} = \frac{\sqrt{2gh}}{A}$$
(1.3)

1.1.2. Rodzaje przepływów

Przytoczona wcześniej szczególna postać równania Bernoulliego (równanie 1.1) jest obwarowana założeniem stacjonarności przepływu. Oznacza to dwie rzeczy:

- 1. Wartości wektorów prędkości cieczy są stałe w czasie.
- 2. Poszczególne "warstwy" cieczy nie wpływają na siebie.

Ten drugi warunek jest znany pod nazwą przepływu laminarnego, który zwykle ma miejsce przy niskich prędkościach cieczy. W takim typie przepływu nie występują żadne jego zaburzenia (ruchy wirowe, prądy przeciwne itp.), a poszczególne "warstwy" cieczy zachowują się jak karty do gry przy tasowaniu, przepływając obok siebie bez wpływania jedna na drugą. Jej cząstki będące blisko powierzchni przemieszczają się po liniach równoległych do tafli cieczy.

Niestety, w rzeczywistości ciężko jest spełnić założenie laminarności przepływu, nie mówiąc już o jego stacjonarności. W związku z tym można zastosować pewne uogólnienie prawa Torricellego na ciecze nielaminarne.

1.2. Model matematyczny zestawu zbiorników

Na podstawie podanych wcześniej zależności można zdefiniować model matematyczny rozważanego układu zbiorników. Jest on dany równaniem 1.4.

$$\begin{cases}
\frac{\partial h_1}{\partial t} = \frac{u - C_1 h_1^{\alpha_1}}{aw} \\
\frac{\partial h_2}{\partial t} = \frac{C_1 h_1^{\alpha_1} - C_2 h_2^{\alpha_2}}{cw + \frac{h_2}{h_{max}} bw} \\
\frac{\partial h_3}{\partial t} = \frac{C_2 h_2^{\alpha_2} - C_3 h_3^{\alpha_3}}{w \sqrt{R^2 - (R - h_3)^2}}
\end{cases} (1.4)$$

Oznaczenia:

- $-h_i(t)$ poziom wody w i-tym zbiorniku ($i \in \{1, 2, 3\}$),
- -u(t) sterowanie pompą,
- a szerokość pierwszego zbiornika,
- b szerokość trójkątnej części drugiego zbiornika,
- c szerokość prostopadłościennej części drugiego zbiornika,
- R promień trzeciego zbiornika,
- w głębokość zbiorników,
- $-h_{max}$ maksymalna wysokość słupa wody w zbiornikach,
- $-C_i$ opór wypływu z i-tego zbiornika,
- $-\alpha_i$ współczynnik wypływu z *i*-tego zbiornika.

Wszystkie wymiary w powyższym wzorze zostały przedstawione na rys. 1.1. Są na nim również oznaczone opory wypływów C_1 - C_3 przy odpowiednich zaworach.

Przyjmując $\alpha_i = \frac{1}{2}$, $\forall_{i \in \{1,2,3\}}$, można uszczegółowić powyższy model, zakładając tylko przepływ laminarny. Taka właśnie jego postać będzie wykorzystywana przy analitycznym wyznaczeniu współczynników równania sprzężonego (definicja znajduje się w sekcji 1.3.1.1), które jest przeprowadzone w podrozdziale 1.3.3. W rzeczywistości, jak zostało wspomniane w podrozdziale 1.1.2, wartości tych współczynników będą musiały być trochę mniejsze, aby oddać faktyczny sposób przepływu wody między zbiornikami.

W rozważanym układzie zbiorników przyjmuje się następujące ograniczenia:

- ograniczenia równościowe:

$$h_1(0) = h_{10}$$

 $h_2(0) = h_{20}$
 $h_3(0) = h_{30}$ (1.5)

- ograniczenia nierównościowe:

$$\forall_{t \in [0,T]} : 0 \le h_1(t) \le h_{max}
\forall_{t \in [0,T]} : 0 \le h_2(t) \le h_{max}
\forall_{t \in [0,T]} : 0 \le h_3(t) \le h_{max}
\forall_{t \in [0,T]} : 0 \le u(t) \le u_{max}$$
(1.6)

1.3. Regulacja czasooptymalna

W niniejszym podrozdziale przedstawiona zostanie koncepcja regulacji czasooptymalnej. Zostaną podane założenia zagadnienia, twierdzenia, na których podstawie można wyliczyć rozwiązanie oraz jego proponowana forma analityczna.

Zaznacza się, że mimo iż podane niżej definicje i założenia są wzięte z ogólnych zagadnień optymalizacji dynamicznej, to w podanym brzmieniu stosują się tylko do zagadnienia wyznaczania sterowania czasooptymalnego.

1.3.1. Ogólna definicja zagadnienia

1.3.1.1. Założenia wstępne

Przyjmijmy system dany stacjonarnym, zwyczajnym równaniem różniczkowym (pokazanym jako równanie 1.7), w którym:

$$\frac{\partial x(t)}{\partial t} = f(x(t), u(t)), \ 0 \le t \le T \tag{1.7}$$

- wektor zmiennych stanu w chwili t x(t) spełnia następujące założenia:
 - $\forall_{t\geq 0}: x(t)\in \mathbb{R}^n$ ma n składowych, a więc rozważany system ma n równań różniczkowych zwyczajnych,
 - $x(0) = x_0 \in \mathbb{R}^n$ spełnia warunek początkowy x_0 ;
- wektor sterowań w chwili t u(t):
 - $\forall_{t\geq 0}:\ u(t)\in D\subset\mathbb{R}^m$ ma m składowych zawierającym się w zbiorze D ograniczającym wartości sterowań.
 - $u(0) = u_0$ spełnia warunek początkowy u_0 ,
 - funkcja u jest przedziałami ciągła na przedziale [0, T] (dokładny opis w [1]), czyli:
 - * ma co najwyżej skończoną liczbę punktów nieciągłości,
 - * w każdym z nich ma skończoną granicę lewostronną,
 - * jest prawostronnie ciągła,
 - * w lewym końcu przedziału jest lewostronnie ciągła;

- funkcja $f: \mathbb{R}^n \times \mathbb{R}^m \longmapsto \mathbb{R}^n$:
 - $-f \in C^1$ jest ciągła i różniczkowalna ze względu na pierwszy argument,
 - $\frac{\partial f(t)}{\partial x} \in C^0$ jej pochodna ze względu na pierwszy argument jest ciągła.

Rozwiązaniem takiego równania jest oczywiście funkcja $x:[0,T)\longmapsto \mathbb{R}^n$ nazywana trajektoriq układu.

Trajektoria będąca rozwiązaniem zagadnienia minimalnoczasowego musi spełniać następujący warunek końcowy (nazywany również stanem docelowym):

$$x(T) = x_f \in \mathbb{R}^n \tag{1.8}$$

Ów czas T, po którym przy danym sterowaniu stan systemu osiągnie warunek końcowy, będzie wskaźnikiem jakości:

$$Q(u(t)) = q(x_f) = T \tag{1.9}$$

Na tej podstawie można określić *sterowanie optymalne* $\hat{u}(t)$, które spełnia wszystkie wspominane przy opisie równania 1.7 warunki oraz zależność 1.10. Trajektoria układu wygenerowana przez zastosowanie sterowania optymalnego nazwana jest *trajektorią optymalną* i opisana symbolem $\hat{x}(t)$.

$$\forall_{u(t)}: \ Q(u(t)) \le Q(\hat{u}(t)) \tag{1.10}$$

W opisie zagadnienia czasooptymalnego potrzebne są jeszcze dwa pojęcia. Pierwsze to *funkcja sprzężona* $\psi:[0,T]\longmapsto\mathbb{R}^n$ będąca rozwiązaniem tzw. równania sprzężonego 1.11.

$$\frac{\partial \psi(t)}{\partial t} = -\frac{\partial f(x(t), u(t))}{\partial x} \tag{1.11}$$

Tak, jak w przypadku trajektorii optymalnej układu, trajektoria $\psi(t)$ wyznaczona w układzie, w którym zastosowane zostało sterowanie optymalne $\hat{u}(t)$, nosi nazwę trajektorii sprzężonej optymalnej i oznaczona jest symbolem $\hat{\psi}(t)$.

Ostatnim pojęciem potrzebnym w niniejszym zagadnieniu jest *hamiltonian*, zwany również *funkcją Hamiltona*, czyli funkcja $H: \mathbb{R}^n \times \mathbb{R}^m \times \mathbb{R}^m \longmapsto \mathbb{R}$ który dla trajektorii układu x(t) wygenerowanej przy pomocy sterowania u(t) i odpowiadającej im trajektorii sprzężonej $\psi(t)$ zdefiniowany jest zależnością 1.12.

$$H(\psi(t), x(t), u(t)) = \psi(t) \circ f(x(t), u(t)) = \psi(t)^{T} \cdot f(x(t), u(t))$$
(1.12)

1.3.1.2. Zasada maksimum Pontriagina

Aby jednoznacznie opisać, a następnie wyznaczyć sterowanie czasooptymalne, potrzebne jest przytoczenie zasadniczego twierdzenia w optymalizacji dynamicznej. Jest ono znane pod nazwą *zasada maksimum Pontriagina*. Zostało opracowane w 1956 r. przez rosyjskiego matematyka Lwa Pontriagina. Twierdzenie podaje się w brzmieniu z [1].

Zasada maksimum Pontriagina 1.1. Zakładając układ opisany równaniem 1.7 z warunkiem końcowym 1.8 i wskaźnikiem jakości 1.9 oraz równanie sprzężone 1.11: jeśli dla trajektorii układu $\hat{x}(t)$ wygenerowanej przy pomocy sterowania $\hat{u}(t)$ i odpowiadającej im trajektorii sprzężonej $\hat{\psi}(t)$ zachodzi:

$$\forall_{u(t)\in D} \ \forall_{t\in[0,T]}: \ H(\hat{\psi}(t), \hat{x}(t), \hat{u}(t)) \ge \ H(\hat{\psi}(t), \hat{x}(t), u(t))$$
(1.13)

to sterowanie $\hat{u}(t)$ jest sterowaniem optymalnym.

Powyższe twierdzenie należy obwarować dodatkowymi warunkami koniecznymi optymalności. Niech funkcja $g: \mathbb{R}^{2n} \longmapsto \mathbb{R}^l$ opisuje zestaw ograniczeń nierównościowych, a funkcja $h: \mathbb{R}^{2n} \longmapsto \mathbb{R}^k$ ograniczeń równościowych. Obie dane są wzorem 1.14. Dodatkowo zakłada się, że $g,h \in C^1$.

$$g(x_0, x_f) \le 0$$

 $h(x_0, x_f) = 0$ (1.14)

Ponadto, zakłada się, że istnieją $\lambda \in \mathbb{R}$, $\mu \in \mathbb{R}^l$ oraz $\rho \in \mathbb{R}^k$, które wraz z uprzednio zdefiniowanymi wielkościami i funkcjami spełniają następujące *warunki konieczne optymalności*:

warunek nieujemności:

$$\lambda \ge 0 \land \|\mu\| \ge 0 \tag{1.15}$$

warunek nietrywialności:

$$\lambda + \|\mu\| + \|\rho\| > 0 \tag{1.16}$$

warunek komplementarności:

$$\mu \circ q(x_0, x_f) = 0 \tag{1.17}$$

- warunki transwersalności:

$$\hat{\psi}(0) = \frac{\partial(\mu \circ g + \rho \circ h)}{\partial x_0}$$

$$\hat{\psi}(T) = -\frac{\partial(\mu \circ g + \rho \circ h)}{\partial x_f}$$

$$\forall_{t \in [0,T]} : H(\psi(t), x(t), u(t)) = \frac{\partial(\lambda T + \mu \circ g + \rho \circ h)}{\partial T} = \lambda$$
(1.18)

- równanie sprzężone dane wzorem 1.11,
- warunek maksimum hamiltonianu dany wzorem 1.13.

1.3.2. Nieliniowość układu a sterowanie czasooptymalne

Poszukiwanie sterowania czasooptymalnego w systemach nieliniowych jest w ogólności bardzo skomplikowane, przede wszystkim ze względu na trudność rozwiązania analitycznego nieliniowych (lub nawet niestacjonarnych) równań różniczkowych. Układ zbiorników omawiany w niniejszej pracy również takie posiada: zarówno równania dynamiki układu 1.4, jak i równania sprzężone 1.21 są nieliniowe.

Aby uprościć analizę problemu oraz fizyczne zastosowanie wyznaczonego sterowania, zakłada się, że poszukiwane jego postaci będą klasy "bang - bang". To znaczy, że będą przyjmowały tylko wartości z brzegów jednowymiarowego zbioru dopuszczalnego $D \in \mathbb{R} \wedge D = [0, u_{max}] \Rightarrow \forall_{t \in [0,T]}: u(t) \in [0, u_{max}].$

$$\frac{\partial x}{\partial t} = f(x(t)) + \sum_{i=1}^{m} g_i(x(t)) \cdot u_i(t)$$
(1.19)

Można przyjąć takie założenie, ze względu na to, iż (jak pokazano w [2] oraz w rozdziale 7.10 [3]) dla systemów, których równania mają postać opisaną równaniem 1.19 (a taką dokładnie ma omawiany układ z m=1), funkcja przełączająca ma wtedy postać: $\phi(t)=\hat{\psi}(t)\circ g(\hat{x}(t))$. Owa funkcja opisuje momenty, w których sterowanie zmienia swoją wartość z jednego krańca zbioru D na drugi. W przypadku rozważanego układu zbiorników sterowanie optymalne będzie dane wzorem 1.20.

$$\hat{u}(t) = \frac{sgn(\phi(t)) + sgn(\phi(t))^2}{2} \cdot u_{max} \wedge \phi(t) = \frac{\hat{\psi}_1(t)}{aw} \Rightarrow$$

$$\hat{u}(t) = \frac{sgn(\hat{\psi}_1(t) + sgn(\hat{\psi}_1(t))^2}{2} \cdot u_{max}$$

$$(1.20)$$

Podobne założenia są częstą praktyką w analizie stabilnych systemów nieliniowych ze względu na prostotę fizycznej aplikacji sterowania "bang - bang". Przykłady zastosowań znajdują się m.in. w [4], [5] oraz [6].

1.3.3. Wyznaczanie sterowania czasooptymalnego

Analityczne rozwiązania poszukiwania sterowania czasooptymalnego zwykle opierają się bezpośrednio na przytoczonej powyżej zasadzie maksimum i warunkach koniecznych optymalności. W niniejszym podrozdziale zostanie pokrótce przedstawiona droga mogąca zmierzać do wyznaczenia analitycznego czasooptymalnego sterowania w rozważanym układzie zbiorników. Całe rozwiązanie nie jest przeprowadzone ze względu na fakt, iż równiania sprzężone są niestacjonarne, a więc ich rozwiązanie analityczne byłoby bardzo trudne lub wręcz niemożliwe.

Pierwszym krokiem ku wyliczeniu analitycznego rozwiązania jest wyznaczenie równań sprzężonych za pomocą wzoru 1.11. Przyjmując współczynniki $\alpha_i = \frac{1}{2} \forall_{i \in \{1,2,3\}}$ w modelu matematycznym zestawu zbiorników danym równaniem 1.4, można wyznaczyć równania sprzężone rozważanego układu. Są one dane wzorem 1.21. Pominięto w nim zależności wszystkich funkcji ψ oraz h od czasu, aby uprościć zapis.

$$\begin{cases} \frac{\partial \psi_{1}}{\partial t} = \psi_{1} \frac{C_{1}}{2aw\sqrt{h_{1}}} - \psi_{2} \frac{C_{1}}{2\sqrt{h_{1}}(cw + \frac{h_{2}}{h_{max}}bw)} \\ \frac{\partial \psi_{2}}{\partial t} = -\psi_{2} \frac{1}{cw + \frac{h_{2}}{h_{max}}bw} \left(\frac{b(C_{1}\sqrt{h_{1}} - C_{2}\sqrt{h_{2}})}{ch_{max} + bh_{2}} - \frac{C_{2}}{2\sqrt{h_{2}}} \right) - \psi_{3} \frac{1}{w\sqrt{h_{3}(2R - h_{3})}} \\ \frac{\partial \psi_{3}}{\partial t} = \psi_{3} \frac{-C_{3}(3R - 2h_{3})}{wh_{3}(2R - h_{3})^{\frac{3}{2}}} \end{cases}$$
(1.21)

Następnie trzeba by przedefiniować ograniczenia równościowe (dane wzorem 1.5) i nierównościowe (1.6) tak, aby spełniały założenia funkcji g i h opisane zależnościami 1.14. Korzystając z warunków komplementarności (1.17) oraz nieujemności (1.15), powinno się wyznaczyć składowe wektora μ oraz założyć pewną postać wektora ρ (bazując takie założenie na 1.16).

Na podstawie tych danych należałoby wyznaczyć warunki początkowy i końcowy danym wzorem 1.18 dla powyższych równań sprzężonych, co pozwoliłoby wyznaczyć analityczne wzory opisujące wszystkie składowe trajektorii sprzężonych systemu.

Na koniec, korzystając z zależności 1.20, można by wyznaczyć analityczny wzór sterowania optymalnego.

- 1.3.4. Numeryczne metody wyznaczania sterowania czasooptymalnego
- 1.4. Regulacja liniowo kwadratowa
- 1.4.1. Ogólna definicja zagadnienia
- 1.4.2. Linearyzacja modelu
- 1.4.3. Wyznaczanie regulatora liniowo kwadratowego
- 1.4.4. Dobór wag w zagadnieniu liniowo kwadratowym

2. Architektura zaproponowanego rozwiązania

- 2.1. Podział zadań między elementami oprogramowania
- 2.2. Część obliczeniowa ("wyższego poziomu")
- 2.2.1. Wybór pakietu do optymalizacji dynamicznej
- 2.2.2. Opis pakietu Modelica
- 2.2.3. Opis systemu Tango Controls
- 2.2.4. Architektura klasy urządzeń systemu Tango
- 2.2.4.1. Interfejs dla systemu Tango
- 2.2.4.2. Problem dostępności interfejsu
- 2.2.5. Środowisko testowe części obliczeniowej
- 2.3. Część realizująca sterowanie ("niższego poziomu")
- 2.3.1. Pakiet Simulink jako narzędzie realizujące sterowanie
- 2.3.2. Komunikacja z urządzeniem wykonawczym i czujnikami
- 2.4. Komunikacja między elementami oprogramowania

3. Badania symulacyjne

- 3.1. Optymalizacja przy użyciu pakietu JModelica.org
- 3.1.1. Inicjalizacja optymalizacji dynamicznej
- 3.1.2. Dokładność wyznaczania rozwiązania
- 3.2. Symulacja i weryfikacja
- 3.2.1. Przy użyciu pakietu JModelica.org
- 3.2.2. Przy użyciu oprogramowania MATLAB/Simulink

4. Badania eksperymentalne

- 4.1. Porównanie wyników eksperymentalnych z symulacyjnymi
- 4.1.1. Ocena jakości rozwiązania
- 4.2. Badanie wpływu zakłóceń na sterowanie
- 4.2.1. Wpływ czasu dyskretyzacji
- 4.2.2. Wpływ zakłóceń w ruchu sieciowym
- 4.3. Możliwe kierunki dalszego rozwiązania zaproponowanego rozwiązania

Zakończenie

Zakończenie!

Spis rysunków

1 1	Układ zbiorników z zaznaczon	vmi w	vmiarami													10
1.1	CKIAG ZOIOIIIKOW Z Zaznaczon	y IIII VV	ymmarami.	 	•	 •	 •	• •	•	•	•	 •	•	•	•	10

Bibliografia

- [1] Adam Korytowski. *Notatki z wykładów na przedmiot: Optymalizacja w Systemach Sterowania*. Kraków, Polska: Akademia Górniczo-Hutnicza im. S. Staszica, 2015.
- [2] Yi Ma. Lecture notes for course ECE553: Optimum Control Systems. Dostep on-line: http://yima.csl.illinois.edu/ECE553.html
 Stan na: 15.08.2017 r. Champaign, Illinois, Stany Zjednoczone Ameryki: Uniwersytet Illinois w Urbana-Champaign, 2008.
- [3] Michael Athans i Peter L. Falb. Optimal Control: An Introduction to the Theory and its Applications. Dostęp on-line: https://archive.org/details/
 OptimalControlAnIntroductionToTheTheoryAndIitsApplications
 Stan na: 15.08.2017 r. Nowy Jork, Stany Zjednoczone Ameryki: McGraw-Hill Book Company, 1966.
- [4] I. Vakilzadeh i Keshavarz A. A. "Bang-Bang Control of a Second-Order Non-Linear Stable Plant with Second-Order Nonlinearity". W: *Kybernetika* 18.1 (1982). Dostęp on-line: http://www.kybernetika.cz/content/1982/1/66/paper.pdf. Stan na: 15.08.2017 r.
- [5] K. Balachandran i D. Somasundaram. "Bang-Bang Control of a Second-Order Non-Linear Stable Plant with Fourth-Order Nonlinearity". W: Kybernetika 19.2 (1983). Dostęp on-line: http://www.kybernetika.cz/content/1983/2/158/paper.pdf Stan na: 15.08.2017 r.
- [6] Mehmet Itik. "Optimal control of nonlinear systems with input constraints using linear time varying approximations". W: *Nonlinear Analysis: Modelling and Control* 21.3 (2016). Dostęp on-line: https://www.mii.lt/na/issues/NA_2103/NA2137.pdf
 Stan na: 15.08.2017 r.